

Eingabe: Farbmimetrisches Reflexions-System MRS18

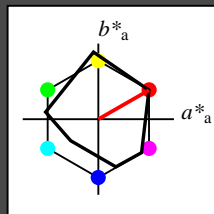
für Buntton $h^* = lab^*h = 30/360 = 0.083$

LAB*LCH, LAB*NCH

D65: Buntton R

LCH*Ma: 50 77 30

olv*Ma: 1.0 0.0 0.0



MRS18; adaptierte CIELAB-Daten					
	$L^*=L_a^*$	a_a^*	b_a^*	$C_{ab,a}^*$	$h_{ab,a}^*$
R _{Ma}	49.63	66.96	38.37	77.18	30
J _{Ma}	90.7	-6.36	88.75	88.98	94
G _{Ma}	52.11	-69.73	9.44	70.37	172
G50B _{Ma}	45.03	-36.57	-28.47	46.36	218
B _{Ma}	36.65	23.19	-63.05	67.18	290
B50R _{Ma}	34.94	57.17	-44.26	72.31	322
N _{Ma}	18.01	0.0	0.0	0.0	0
W _{Ma}	95.41	0.0	0.0	0.0	0
R _{CIE}	39.92	58.66	26.98	64.56	25
J _{CIE}	81.26	-2.17	67.76	67.79	92
G _{CIE}	52.23	-42.26	11.75	43.87	164
B _{CIE}	30.57	1.15	-46.84	46.87	271

CIELAB-Helligkeit L^*

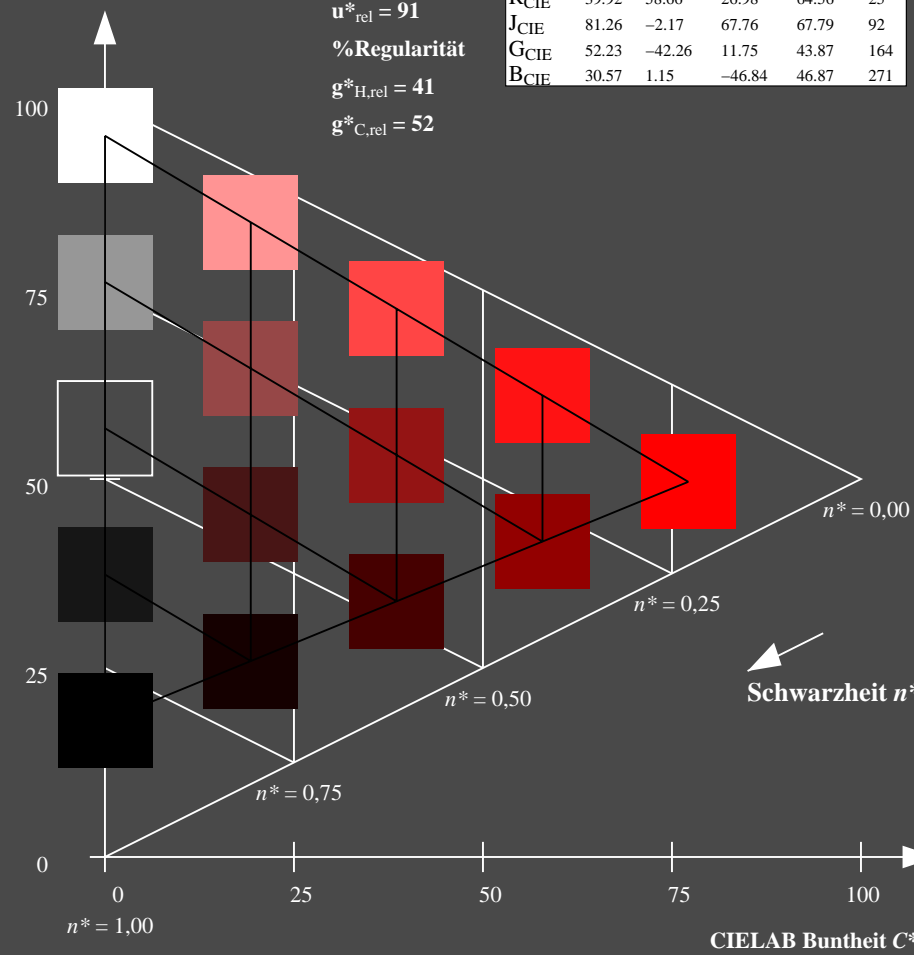
%Umfang

$u_{rel}^* = 91$

%Regularität

$g_{H,rel}^* = 41$

$g_{C,rel}^* = 52$



UG340-7, 5 stufige Reihen für konstanten CIELAB Bunton 30/360 = 0.083 (links)

Ausgabe: Farbmimetrisches Reflexions-System MRS18

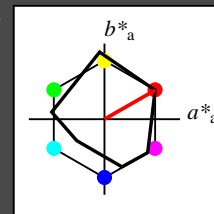
für Buntton $h^* = lab^*h = 30/360 = 0.083$

LAB*LCH, LAB*NCH

D65: Buntton R

LCH*Ma: 50 77 30

olv*Ma: 1.0 0.0 0.0



MRS18; adaptierte CIELAB-Daten					
	$L^*=L_a^*$	a_a^*	b_a^*	$C_{ab,a}^*$	$h_{ab,a}^*$
R _{Ma}	49.63	66.96	38.37	77.18	30
J _{Ma}	90.7	-6.36	88.75	88.98	94
G _{Ma}	52.11	-69.73	9.44	70.37	172
G50B _{Ma}	45.03	-36.57	-28.47	46.36	218
B _{Ma}	36.65	23.19	-63.05	67.18	290
B50R _{Ma}	34.94	57.17	-44.26	72.31	322
N _{Ma}	18.01	0.0	0.0	0.0	0
W _{Ma}	95.41	0.0	0.0	0.0	0
R _{CIE}	39.92	58.66	26.98	64.56	25
J _{CIE}	81.26	-2.17	67.76	67.79	92
G _{CIE}	52.23	-42.26	11.75	43.87	164
B _{CIE}	30.57	1.15	-46.84	46.87	271

CIELAB-Helligkeit L^*

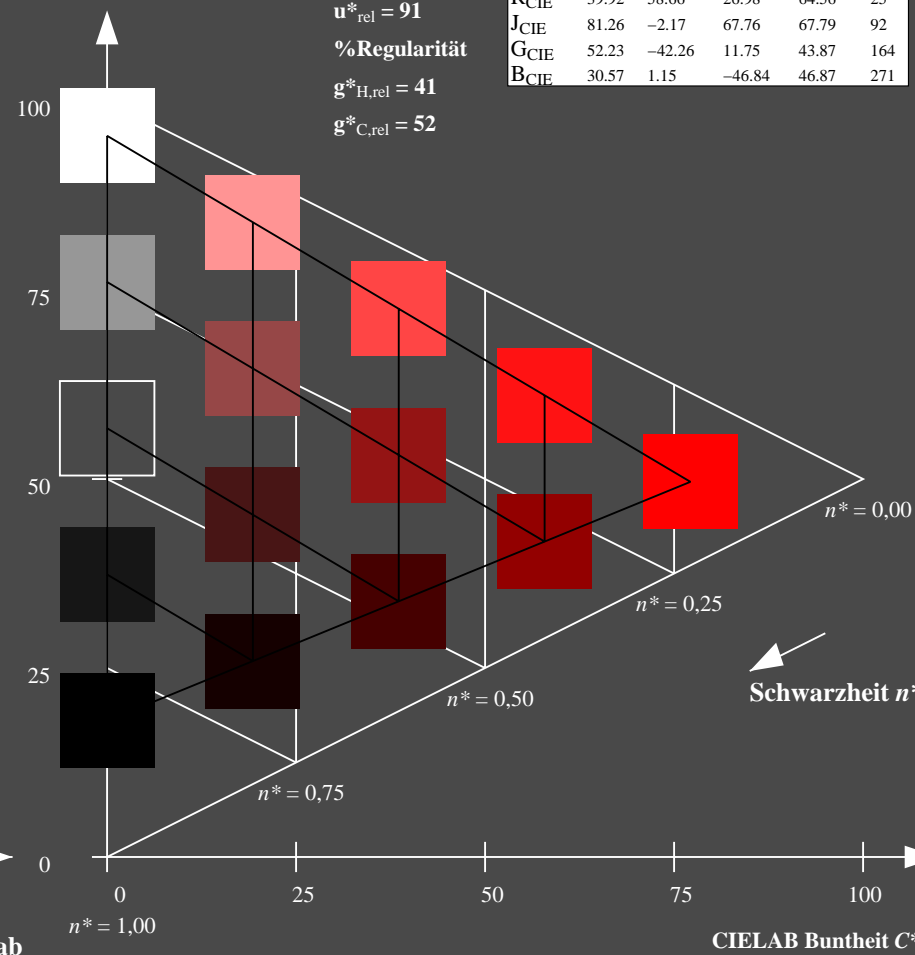
%Umfang

$u_{rel}^* = 91$

%Regularität

$g_{H,rel}^* = 41$

$g_{C,rel}^* = 52$



5 stufige Reihen für konstanten CIELAB Bunton 30/360 = 0.083 (rechts)

BAM-Prüfvorlage UG34; Farbmimetrische-Systeme MRS18 & MRS18

D65: Koordinaten-Systeme von 5stufigen Farbreihen für 10 Bunttonen

Input: $cmY0^* setcmYcolor$

Input: $olv^* setrgbcolor / w^* setgray$

D65: Koordinaten-Systeme von 5stufigen Farbreihen für 10 Bunttöne: $ol_v * setrgbcolor / w * setgray$

Eingabe: Farbmétrisches Reflexions-System MRS18

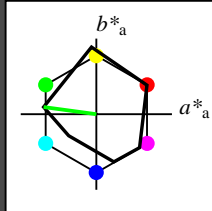
für Buntton $h^* = lab^*h = 172/360 = 0.479$

LAB*LCH, LAB*NCH

D65: Buntton G

LCH*Ma: 52 70 172

olv*Ma: 0.0 1.0 0.0



MRS18; adaptierte CIELAB-Daten					
	$L^*=L_a^*$	a_a^*	b_a^*	$C_{ab,a}^*$	$h_{ab,a}^*$
R _{Ma}	49.63	66.96	38.37	77.18	30
J _{Ma}	90.7	-6.36	88.75	88.98	94
G _{Ma}	52.11	-69.73	9.44	70.37	172
G50B _{Ma}	45.03	-36.57	-28.47	46.36	218
B _{Ma}	36.65	23.19	-63.05	67.18	290
B50R _{Ma}	34.94	57.17	-44.26	72.31	322
N _{Ma}	18.01	0.0	0.0	0.0	0
W _{Ma}	95.41	0.0	0.0	0.0	0
R _{CIE}	39.92	58.66	26.98	64.56	25
J _{CIE}	81.26	-2.17	67.76	67.79	92
G _{CIE}	52.23	-42.26	11.75	43.87	164
B _{CIE}	30.57	1.15	-46.84	46.87	271

CIELAB-Helligkeit L^*

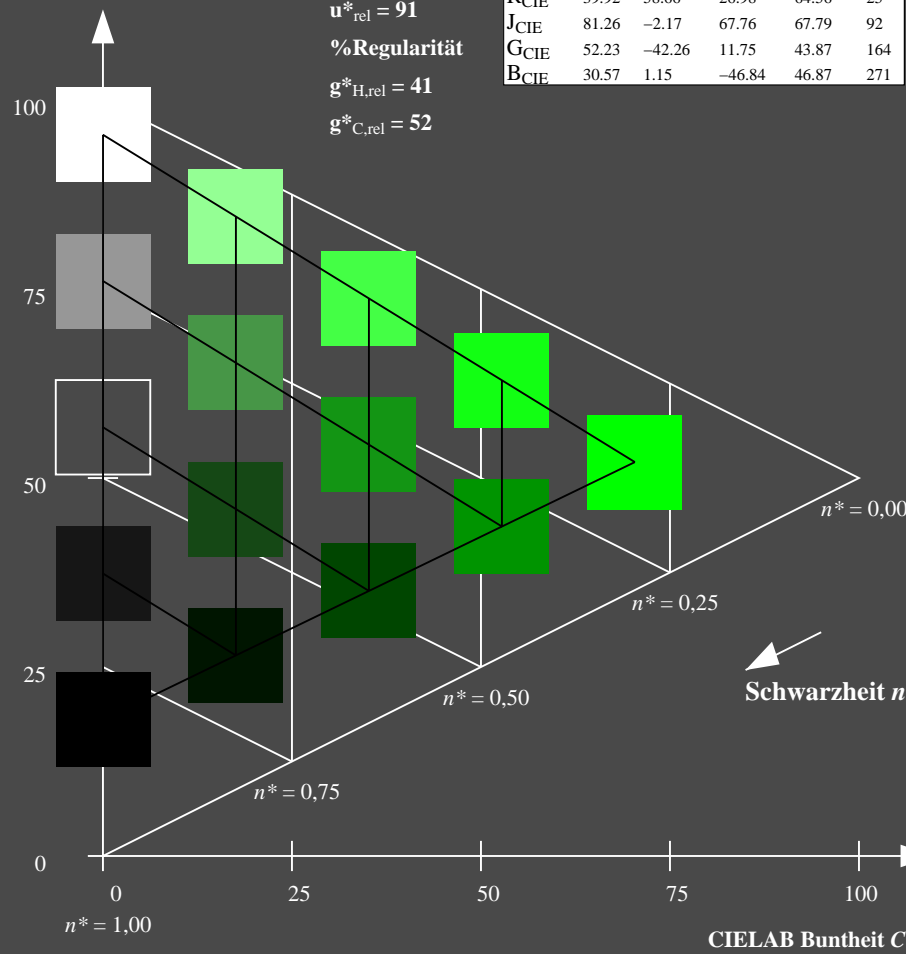
%Umfang

$u_{rel}^* = 91$

%Regularität

$g_{H,rel}^* = 41$

$g_{C,rel}^* = 52$



UG340-7, 5 stufige Reihen für konstanten CIELAB Buntton $172/360 = 0.479$ (links)

Ausgabe: Farbmétrisches Reflexions-System MRS18

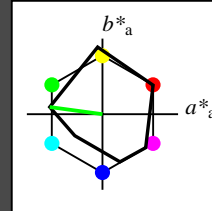
für Buntton $h^* = lab^*h = 172/360 = 0.479$

LAB*LCH, LAB*NCH

D65: Buntton G

LCH*Ma: 52 70 172

olv*Ma: 0.0 1.0 0.0



MRS18; adaptierte CIELAB-Daten					
	$L^*=L_a^*$	a_a^*	b_a^*	$C_{ab,a}^*$	$h_{ab,a}^*$
R _{Ma}	49.63	66.96	38.37	77.18	30
J _{Ma}	90.7	-6.36	88.75	88.98	94
G _{Ma}	52.11	-69.73	9.44	70.37	172
G50B _{Ma}	45.03	-36.57	-28.47	46.36	218
B _{Ma}	36.65	23.19	-63.05	67.18	290
B50R _{Ma}	34.94	57.17	-44.26	72.31	322
N _{Ma}	18.01	0.0	0.0	0.0	0
W _{Ma}	95.41	0.0	0.0	0.0	0
R _{CIE}	39.92	58.66	26.98	64.56	25
J _{CIE}	81.26	-2.17	67.76	67.79	92
G _{CIE}	52.23	-42.26	11.75	43.87	164
B _{CIE}	30.57	1.15	-46.84	46.87	271

CIELAB-Helligkeit L^*

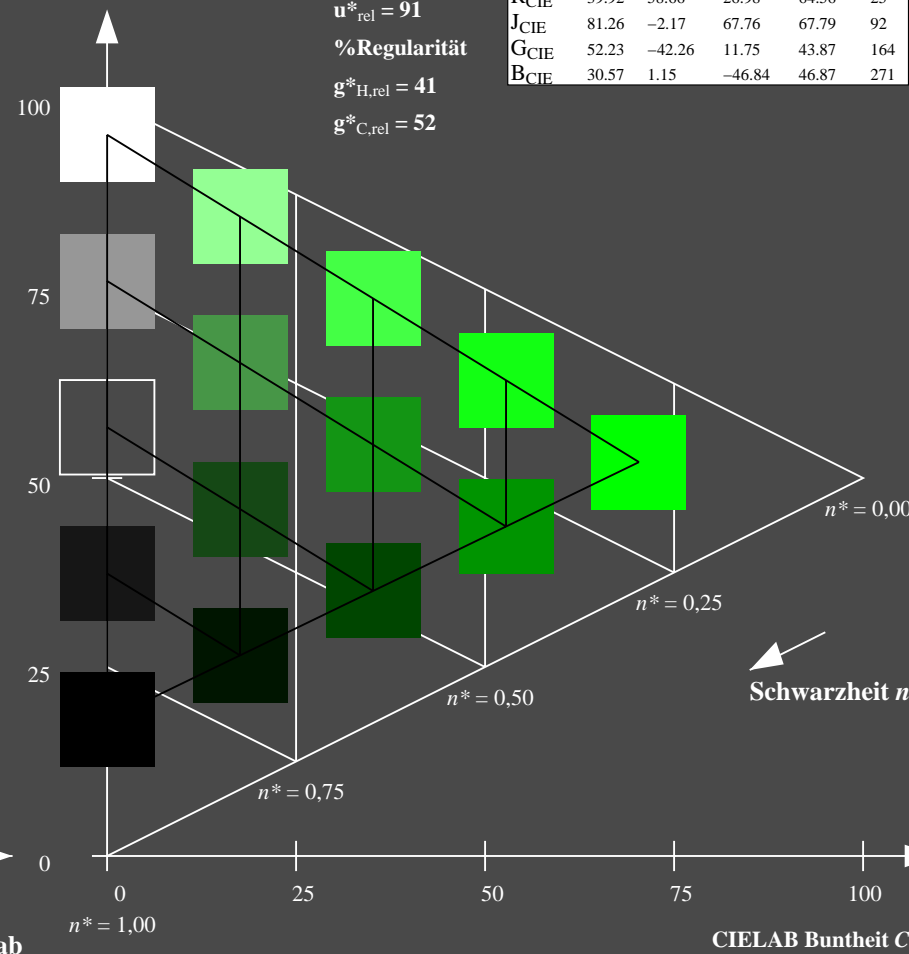
%Umfang

$u_{rel}^* = 91$

%Regularität

$g_{H,rel}^* = 41$

$g_{C,rel}^* = 52$



5 stufige Reihen für konstanten CIELAB Buntton $172/360 = 0.479$ (rechts)

BAM-Prüfvorlage UG34; Farbmétrik-Systeme MRS18 & MRS18

D65: Koordinaten-Systeme von 5stufigen Farbreihen für 10 Buntton

Input: $cmY^0 * setcmykcolor$

Output: $olv * setrgbcolor / w * setgray$

Eingabe: Farbmimetrisches Reflexions-System MRS18

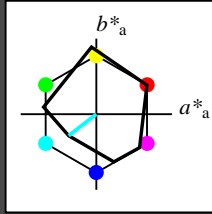
für Buntton $h^* = lab \cdot h = 218/360 = 0.605$

LAB*LCH, LAB*NCH

D65: Buntton G50B

LCH*Ma: 45 46 218

olv*Ma: 0.0 1.0 1.0



MRS18; adaptierte CIELAB-Daten					
	$L^*=L^*_a$	a^*_a	b^*_a	$C^*_{ab,a}$	$h^*_{ab,a}$
R _{Ma}	49.63	66.96	38.37	77.18	30
J _{Ma}	90.7	-6.36	88.75	88.98	94
G _{Ma}	52.11	-69.73	9.44	70.37	172
G50B _{Ma}	45.03	-36.57	-28.47	46.36	218
B _{Ma}	36.65	23.19	-63.05	67.18	290
B50R _{Ma}	34.94	57.17	-44.26	72.31	322
N _{Ma}	18.01	0.0	0.0	0.0	0
W _{Ma}	95.41	0.0	0.0	0.0	0
R _{CIE}	39.92	58.66	26.98	64.56	25
J _{CIE}	81.26	-2.17	67.76	67.79	92
G _{CIE}	52.23	-42.26	11.75	43.87	164
B _{CIE}	30.57	1.15	-46.84	46.87	271

CIELAB-Helligkeit L^*

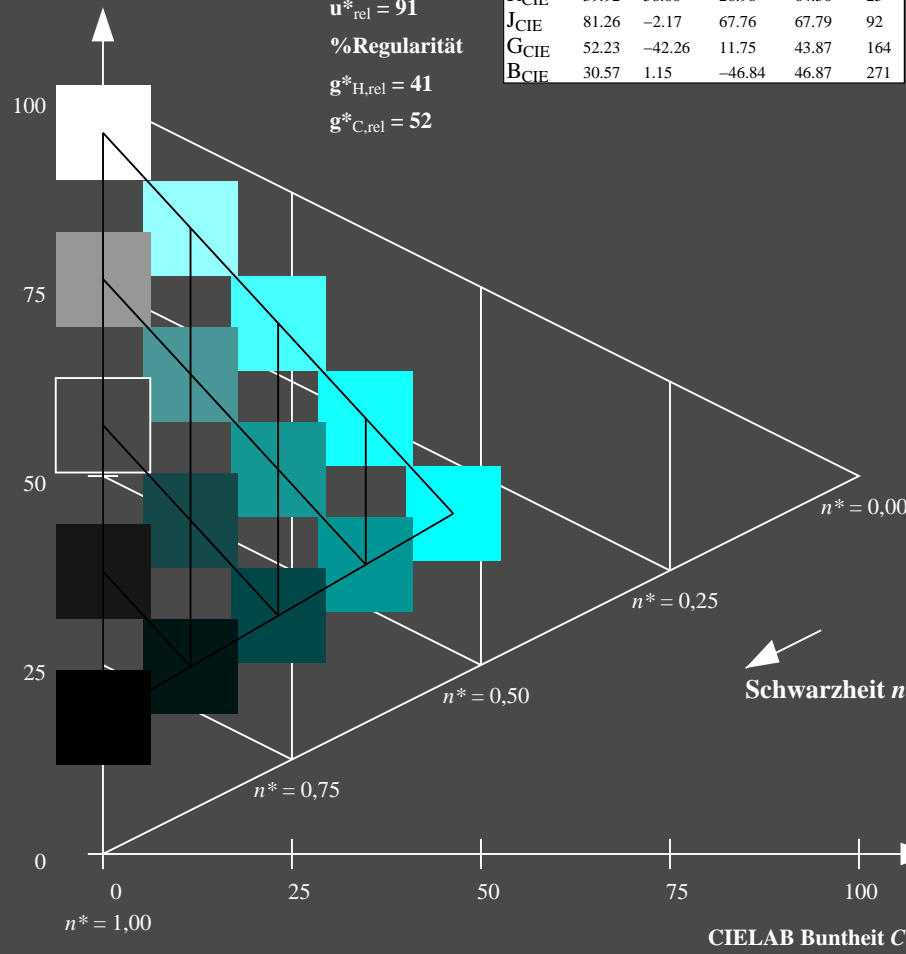
%Umfang

$u^*_{rel} = 91$

%Regularität

$g^*_{H,rel} = 41$

$g^*_{C,rel} = 52$



UG340-7, 5 stufige Reihen für konstanten CIELAB Buntton 218/360 = 0.605 (links)

Ausgabe: Farbmimetrisches Reflexions-System MRS18

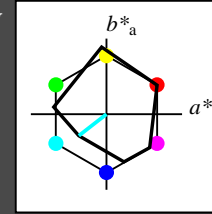
für Buntton $h^* = lab \cdot h = 218/360 = 0.605$

LAB*LCH, LAB*NCH

D65: Buntton G50B

LCH*Ma: 45 46 218

olv*Ma: 0.0 1.0 1.0



MRS18; adaptierte CIELAB-Daten					
	$L^*=L^*_a$	a^*_a	b^*_a	$C^*_{ab,a}$	$h^*_{ab,a}$
R _{Ma}	49.63	66.96	38.37	77.18	30
J _{Ma}	90.7	-6.36	88.75	88.98	94
G _{Ma}	52.11	-69.73	9.44	70.37	172
G50B _{Ma}	45.03	-36.57	-28.47	46.36	218
B _{Ma}	36.65	23.19	-63.05	67.18	290
B50R _{Ma}	34.94	57.17	-44.26	72.31	322
N _{Ma}	18.01	0.0	0.0	0.0	0
W _{Ma}	95.41	0.0	0.0	0.0	0
R _{CIE}	39.92	58.66	26.98	64.56	25
J _{CIE}	81.26	-2.17	67.76	67.79	92
G _{CIE}	52.23	-42.26	11.75	43.87	164
B _{CIE}	30.57	1.15	-46.84	46.87	271

CIELAB-Helligkeit L^*

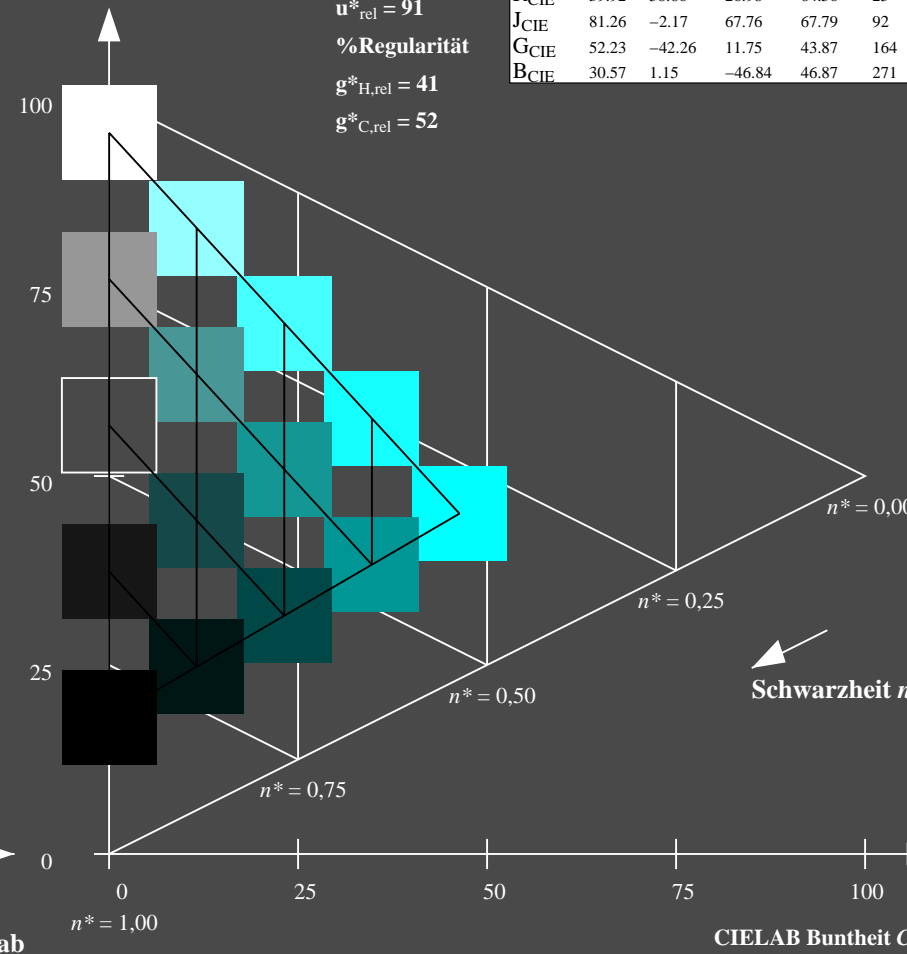
%Umfang

$u^*_{rel} = 91$

%Regularität

$g^*_{H,rel} = 41$

$g^*_{C,rel} = 52$



5 stufige Reihen für konstanten CIELAB Buntton 218/360 = 0.605 (rechts)

BAM-Prüfvorlage UG34; Farbmimetrische-Systeme MRS18 & MRS18

D65: Koordinaten-Systeme von 5stufigen Farbreihen für 10 Bunttonen

Input: $cmY0^* setcmYcolor$

Output: $olv^* setrgbcolor / w^* setgray$

Eingabe: Farbmimetrisches Reflexions-System MRS18

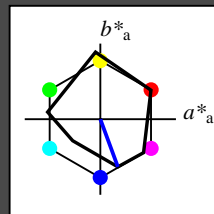
für Buntton $h^* = lab^*h = 290/360 = 0.806$

LAB*LCH, LAB*NCH

D65: Buntton B

LCH*Ma: 37 67 290

olv*Ma: 0.0 0.0 1.0



MRS18; adaptierte CIELAB-Daten					
	$L^*=L_a^*$	a_a^*	b_a^*	$C_{ab,a}^*$	$h_{ab,a}^*$
R _{Ma}	49.63	66.96	38.37	77.18	30
J _{Ma}	90.7	-6.36	88.75	88.98	94
G _{Ma}	52.11	-69.73	9.44	70.37	172
G50B _{Ma}	45.03	-36.57	-28.47	46.36	218
B _{Ma}	36.65	23.19	-63.05	67.18	290
B50R _{Ma}	34.94	57.17	-44.26	72.31	322
N _{Ma}	18.01	0.0	0.0	0.0	0
W _{Ma}	95.41	0.0	0.0	0.0	0
R _{CIE}	39.92	58.66	26.98	64.56	25
J _{CIE}	81.26	-2.17	67.76	67.79	92
G _{CIE}	52.23	-42.26	11.75	43.87	164
B _{CIE}	30.57	1.15	-46.84	46.87	271

CIELAB-Helligkeit L^*

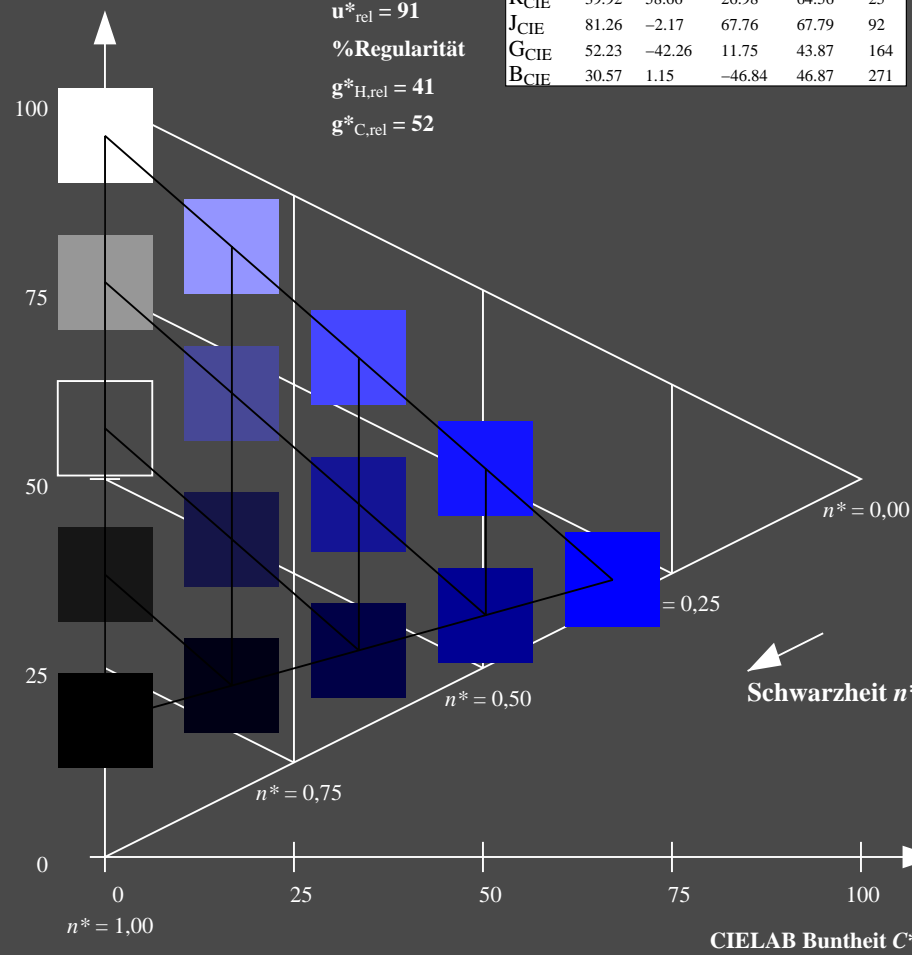
%Umfang

$u_{rel}^* = 91$

%Regularität

$g_{H,rel}^* = 41$

$g_{C,rel}^* = 52$



UG340-7, 5 stufige Reihen für konstanten CIELAB Buntton 290/360 = 0.806 (links)

Ausgabe: Farbmimetrisches Reflexions-System MRS18

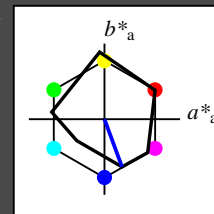
für Buntton $h^* = lab^*h = 290/360 = 0.806$

LAB*LCH, LAB*NCH

D65: Buntton B

LCH*Ma: 37 67 290

olv*Ma: 0.0 0.0 1.0



MRS18; adaptierte CIELAB-Daten					
	$L^*=L_a^*$	a_a^*	b_a^*	$C_{ab,a}^*$	$h_{ab,a}^*$
R _{Ma}	49.63	66.96	38.37	77.18	30
J _{Ma}	90.7	-6.36	88.75	88.98	94
G _{Ma}	52.11	-69.73	9.44	70.37	172
G50B _{Ma}	45.03	-36.57	-28.47	46.36	218
B _{Ma}	36.65	23.19	-63.05	67.18	290
B50R _{Ma}	34.94	57.17	-44.26	72.31	322
N _{Ma}	18.01	0.0	0.0	0.0	0
W _{Ma}	95.41	0.0	0.0	0.0	0
R _{CIE}	39.92	58.66	26.98	64.56	25
J _{CIE}	81.26	-2.17	67.76	67.79	92
G _{CIE}	52.23	-42.26	11.75	43.87	164
B _{CIE}	30.57	1.15	-46.84	46.87	271

CIELAB-Helligkeit L^*

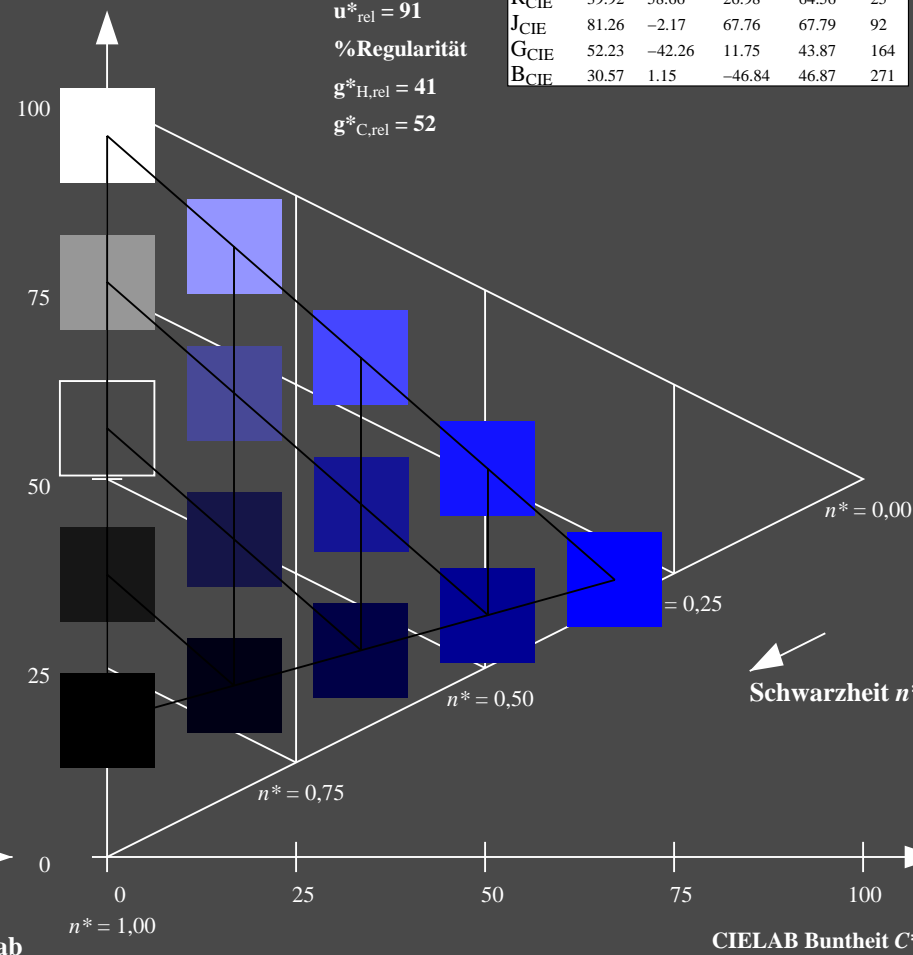
%Umfang

$u_{rel}^* = 91$

%Regularität

$g_{H,rel}^* = 41$

$g_{C,rel}^* = 52$



5 stufige Reihen für konstanten CIELAB Buntton 290/360 = 0.806 (rechts)

BAM-Prüfvorlage UG34; Farbmimetrische-Systeme MRS18 & MRS18

D65: Koordinaten-Systeme von 5stufigen Farbreihen für 10 Bunttoninput: $cm y^0 * setcmykcolor$
input: $olv * setrgbcolor / w^* setgray$

Eingabe: Farbmétrisches Reflexions-System MRS18

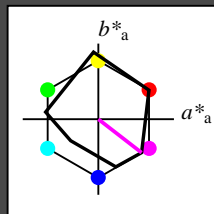
für Buntton $h^* = lab^*h = 322/360 = 0.895$

LAB*LCH, LAB*NCH

D65: Buntton B50R

LCH*Ma: 35 72 322

olv*Ma: 1.0 0.0 1.0



MRS18; adaptierte CIELAB-Daten					
	$L^*=L_a^*$	a_a^*	b_a^*	$C_{ab,a}^*$	$h_{ab,a}^*$
R _{Ma}	49.63	66.96	38.37	77.18	30
J _{Ma}	90.7	-6.36	88.75	88.98	94
G _{Ma}	52.11	-69.73	9.44	70.37	172
G50B _{Ma}	45.03	-36.57	-28.47	46.36	218
B _{Ma}	36.65	23.19	-63.05	67.18	290
B50R _{Ma}	34.94	57.17	-44.26	72.31	322
N _{Ma}	18.01	0.0	0.0	0.0	0
W _{Ma}	95.41	0.0	0.0	0.0	0
R _{CIE}	39.92	58.66	26.98	64.56	25
J _{CIE}	81.26	-2.17	67.76	67.79	92
G _{CIE}	52.23	-42.26	11.75	43.87	164
B _{CIE}	30.57	1.15	-46.84	46.87	271

CIELAB-Helligkeit L^*

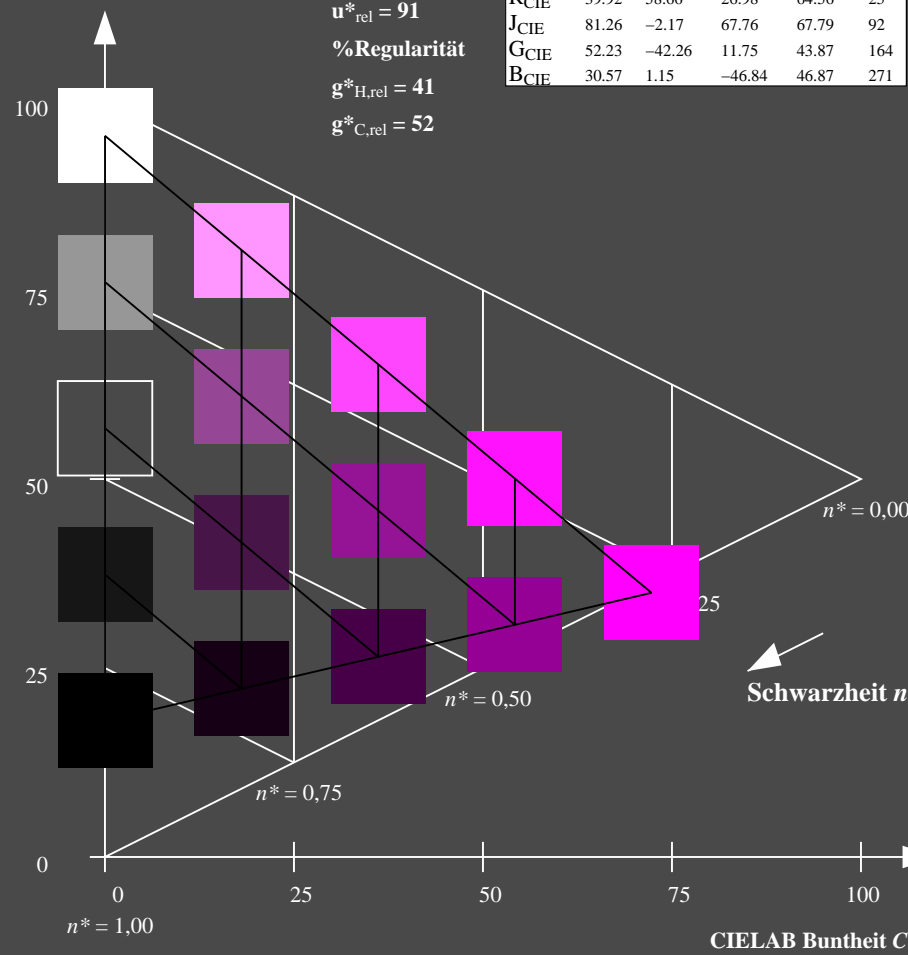
%Umfang

$u_{rel}^* = 91$

%Regularität

$g_{H,rel}^* = 41$

$g_{C,rel}^* = 52$



UG340-7, 5 stufige Reihen für konstanten CIELAB Buntton 322/360 = 0.895 (links)

Ausgabe: Farbmétrisches Reflexions-System MRS18

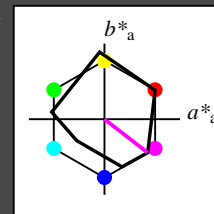
für Buntton $h^* = lab^*h = 322/360 = 0.895$

LAB*LCH, LAB*NCH

D65: Buntton B50R

LCH*Ma: 35 72 322

olv*Ma: 1.0 0.0 1.0



MRS18; adaptierte CIELAB-Daten					
	$L^*=L_a^*$	a_a^*	b_a^*	$C_{ab,a}^*$	$h_{ab,a}^*$
R _{Ma}	49.63	66.96	38.37	77.18	30
J _{Ma}	90.7	-6.36	88.75	88.98	94
G _{Ma}	52.11	-69.73	9.44	70.37	172
G50B _{Ma}	45.03	-36.57	-28.47	46.36	218
B _{Ma}	36.65	23.19	-63.05	67.18	290
B50R _{Ma}	34.94	57.17	-44.26	72.31	322
N _{Ma}	18.01	0.0	0.0	0.0	0
W _{Ma}	95.41	0.0	0.0	0.0	0
R _{CIE}	39.92	58.66	26.98	64.56	25
J _{CIE}	81.26	-2.17	67.76	67.79	92
G _{CIE}	52.23	-42.26	11.75	43.87	164
B _{CIE}	30.57	1.15	-46.84	46.87	271

CIELAB-Helligkeit L^*

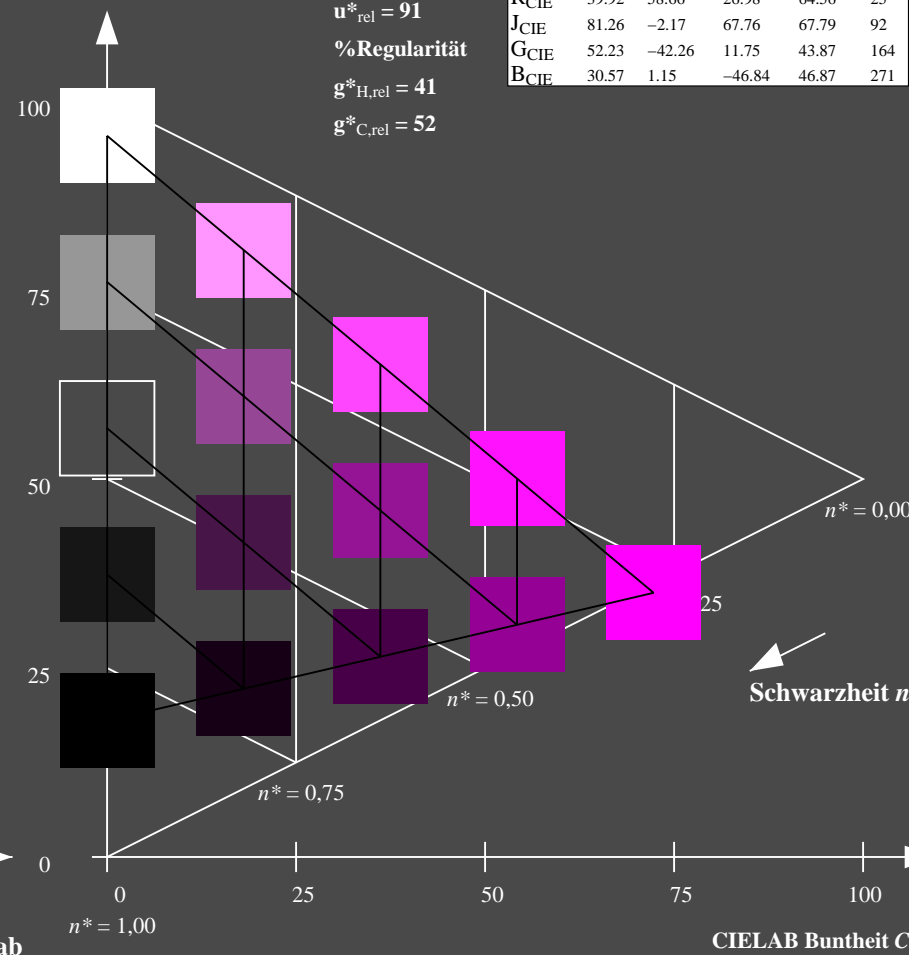
%Umfang

$u_{rel}^* = 91$

%Regularität

$g_{H,rel}^* = 41$

$g_{C,rel}^* = 52$



5 stufige Reihen für konstanten CIELAB Buntton 322/360 = 0.895 (rechts)

BAM-Prüfvorlage UG34; Farbmétrik-Systeme MRS18 & MRS18

D65: Koordinaten-Systeme von 5stufigen Farbreihen für 10 Bunttonen

Input: $cmY0^* setcmYcolor$

Output: $olv^* setrgbcolor / w^* setgray$

Eingabe: Farbmimetrisches Reflexions-System MRS18

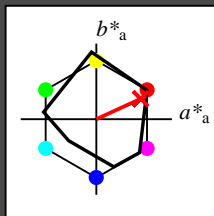
für Buntton $h^* = lab^*h = 25/360 = 0.069$

LAB*LCH, LAB*NCH

D65: Buntton R

LCH*Ma: 48 73 25

olv*Ma: 1.0 0.0 0.1



MRS18; adaptierte CIELAB-Daten					
	$L^*=L_a^*$	a_a^*	b_a^*	$C_{ab,a}^*$	$h_{ab,a}^*$
R _{Ma}	49.63	66.96	38.37	77.18	30
J _{Ma}	90.7	-6.36	88.75	88.98	94
G _{Ma}	52.11	-69.73	9.44	70.37	172
G50B _{Ma}	45.03	-36.57	-28.47	46.36	218
B _{Ma}	36.65	23.19	-63.05	67.18	290
B50R _{Ma}	34.94	57.17	-44.26	72.31	322
N _{Ma}	18.01	0.0	0.0	0.0	0
W _{Ma}	95.41	0.0	0.0	0.0	0
R _{CIE}	39.92	58.66	26.98	64.56	25
J _{CIE}	81.26	-2.17	67.76	67.79	92
G _{CIE}	52.23	-42.26	11.75	43.87	164
B _{CIE}	30.57	1.15	-46.84	46.87	271

CIELAB-Helligkeit L^*

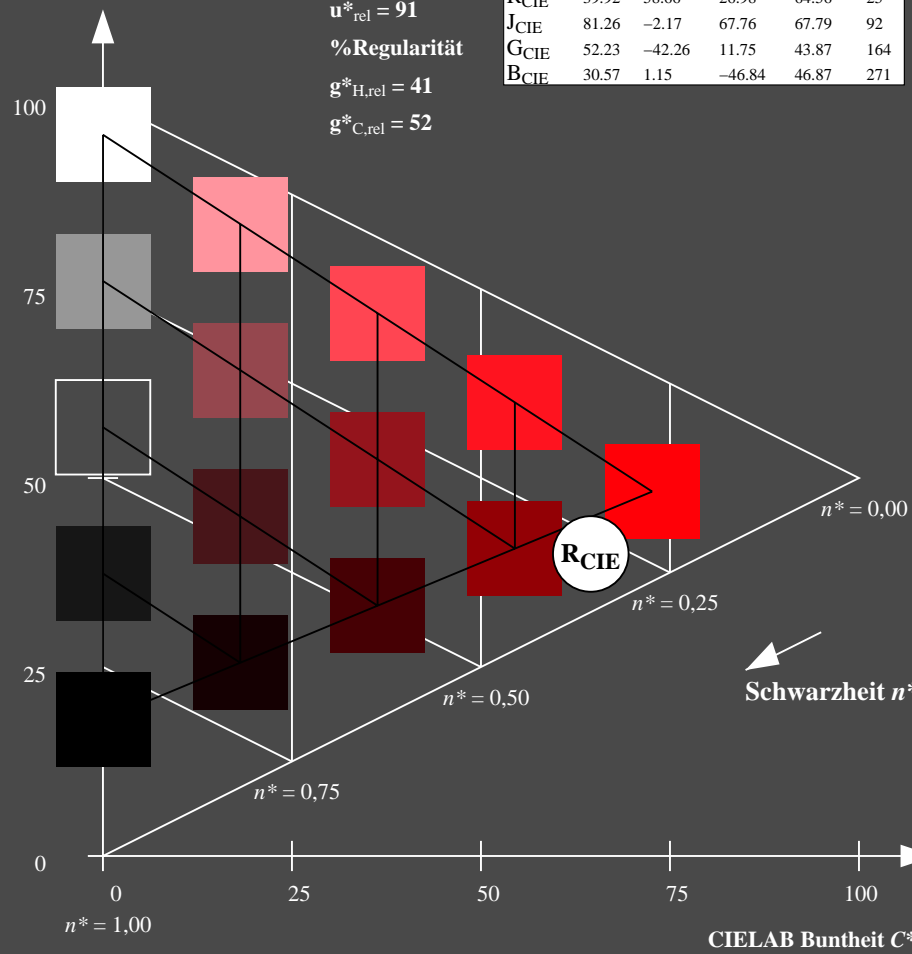
%Umfang

$u_{rel}^* = 91$

%Regularität

$g_{H,rel}^* = 41$

$g_{C,rel}^* = 52$



UG340-7, 5 stufige Reihen für konstanten CIELAB Buntton 25/360 = 0.069 (links)

Ausgabe: Farbmimetrisches Reflexions-System MRS18

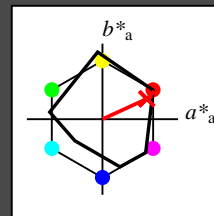
für Buntton $h^* = lab^*h = 25/360 = 0.069$

LAB*LCH, LAB*NCH

D65: Buntton R

LCH*Ma: 48 73 25

olv*Ma: 1.0 0.0 0.1



MRS18; adaptierte CIELAB-Daten					
	$L^*=L_a^*$	a_a^*	b_a^*	$C_{ab,a}^*$	$h_{ab,a}^*$
R _{Ma}	49.63	66.96	38.37	77.18	30
J _{Ma}	90.7	-6.36	88.75	88.98	94
G _{Ma}	52.11	-69.73	9.44	70.37	172
G50B _{Ma}	45.03	-36.57	-28.47	46.36	218
B _{Ma}	36.65	23.19	-63.05	67.18	290
B50R _{Ma}	34.94	57.17	-44.26	72.31	322
N _{Ma}	18.01	0.0	0.0	0.0	0
W _{Ma}	95.41	0.0	0.0	0.0	0
R _{CIE}	39.92	58.66	26.98	64.56	25
J _{CIE}	81.26	-2.17	67.76	67.79	92
G _{CIE}	52.23	-42.26	11.75	43.87	164
B _{CIE}	30.57	1.15	-46.84	46.87	271

CIELAB-Helligkeit L^*

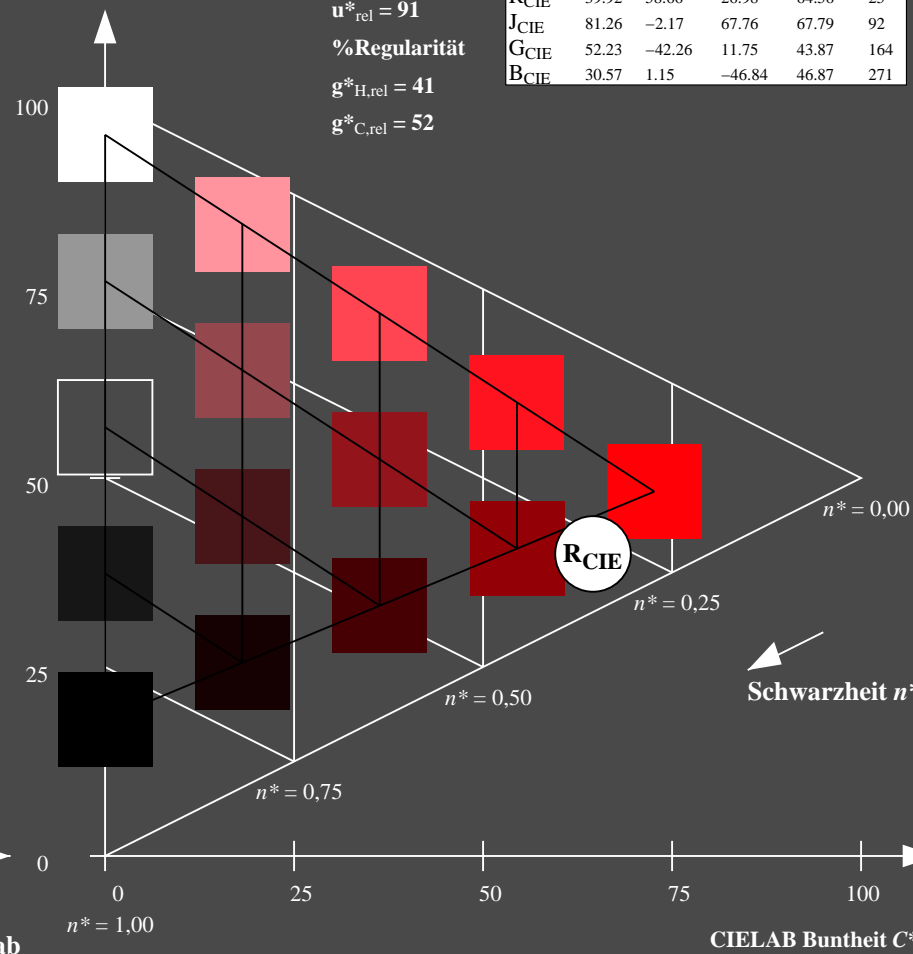
%Umfang

$u_{rel}^* = 91$

%Regularität

$g_{H,rel}^* = 41$

$g_{C,rel}^* = 52$



5 stufige Reihen für konstanten CIELAB Buntton 25/360 = 0.069 (rechts)

BAM-Prüfvorlage UG34; Farbmimetrische-Systeme MRS18 & MRS18

D65: Koordinaten-Systeme von 5stufigen Farbreihen für 10 Bunttonen

Input: $cmY0^* setcmykcolor$

Output: $olv^* setrgbcolor / w^* setgray$

Eingabe: Farbmimetrisches Reflexions-System MRS18

für Buntton $h^* = lab^*h = 92/360 = 0.255$

LAB*LCH, LAB*NCH

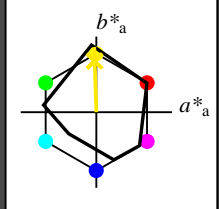
D65: Buntton J

LCH*Ma: 89 86 92

olv*Ma: 1.0 0.95 0.0

MRS18; adaptierte CIELAB-Daten

	$L^*=L^*_a$	a^*_a	b^*_a	$C^*_{ab,a}$	$h^*_{ab,a}$
R _{Ma}	49.63	66.96	38.37	77.18	30
J _{Ma}	90.7	-6.36	88.75	88.98	94
G _{Ma}	52.11	-69.73	9.44	70.37	172
G50B _{Ma}	45.03	-36.57	-28.47	46.36	218
B _{Ma}	36.65	23.19	-63.05	67.18	290
B50R _{Ma}	34.94	57.17	-44.26	72.31	322
N _{Ma}	18.01	0.0	0.0	0.0	0
W _{Ma}	95.41	0.0	0.0	0.0	0
R _{CIE}	39.92	58.66	26.98	64.56	25
J _{CIE}	81.26	-2.17	67.76	67.79	92
G _{CIE}	52.23	-42.26	11.75	43.87	164
B _{CIE}	30.57	1.15	-46.84	46.87	271



CIELAB-Helligkeit L^*

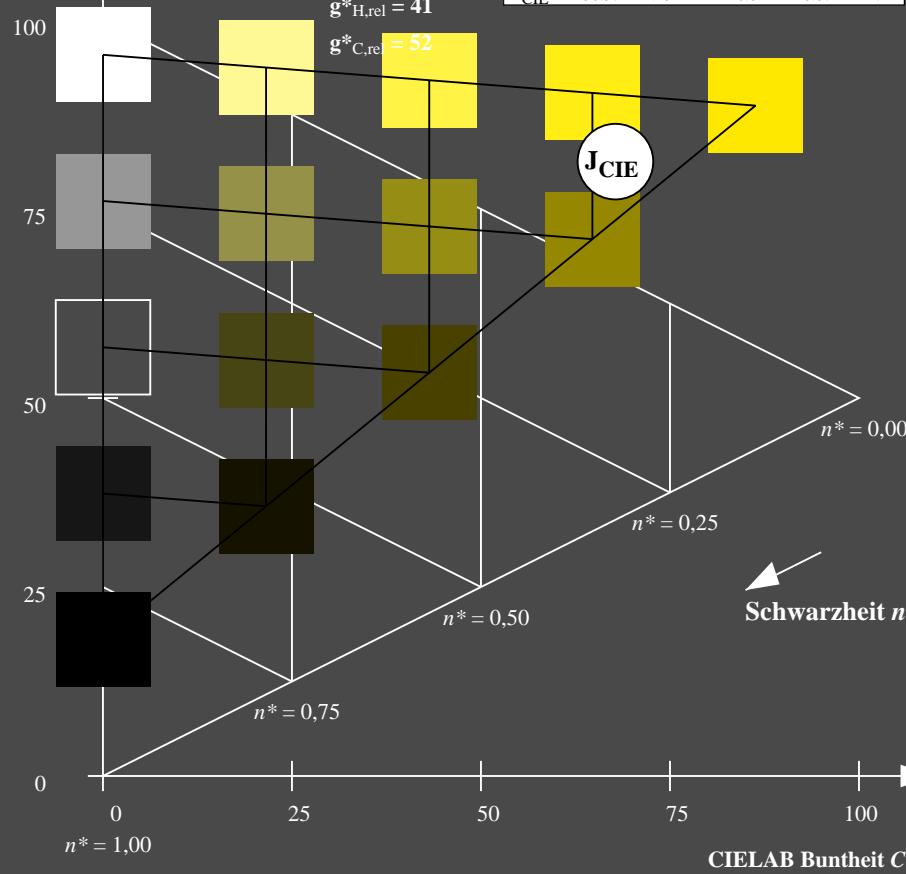
%Umfang

$u^*_{rel} = 91$

%Regularität

$g^*_{H,rel} = 41$

$g^*_{C,rel} = 52$



UG340-7, 5 stufige Reihen für konstanten CIELAB Buntton 92/360 = 0.255 (links)

Ausgabe: Farbmimetrisches Reflexions-System MRS18

für Buntton $h^* = lab^*h = 92/360 = 0.255$

LAB*LCH, LAB*NCH

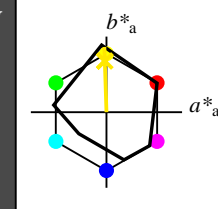
D65: Buntton J

LCH*Ma: 89 86 92

olv*Ma: 1.0 0.95 0.0

MRS18; adaptierte CIELAB-Daten

	$L^*=L^*_a$	a^*_a	b^*_a	$C^*_{ab,a}$	$h^*_{ab,a}$
R _{Ma}	49.63	66.96	38.37	77.18	30
J _{Ma}	90.7	-6.36	88.75	88.98	94
G _{Ma}	52.11	-69.73	9.44	70.37	172
G50B _{Ma}	45.03	-36.57	-28.47	46.36	218
B _{Ma}	36.65	23.19	-63.05	67.18	290
B50R _{Ma}	34.94	57.17	-44.26	72.31	322
N _{Ma}	18.01	0.0	0.0	0.0	0
W _{Ma}	95.41	0.0	0.0	0.0	0
R _{CIE}	39.92	58.66	26.98	64.56	25
J _{CIE}	81.26	-2.17	67.76	67.79	92
G _{CIE}	52.23	-42.26	11.75	43.87	164
B _{CIE}	30.57	1.15	-46.84	46.87	271



CIELAB-Helligkeit L^*

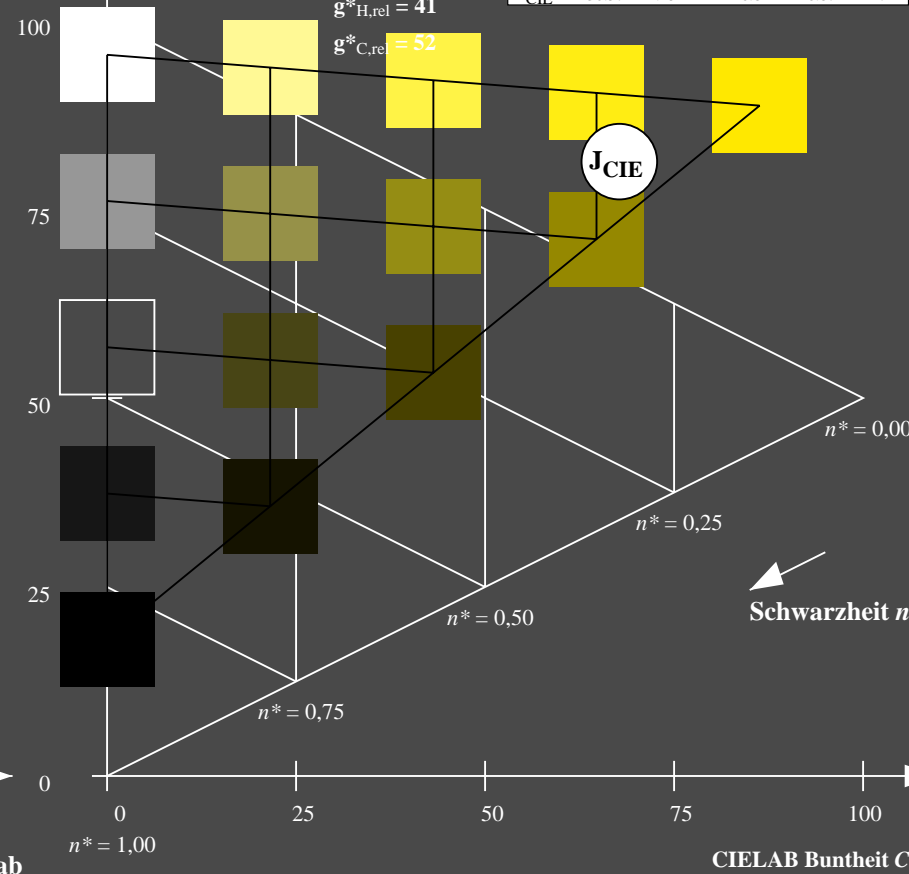
%Umfang

$u^*_{rel} = 91$

%Regularität

$g^*_{H,rel} = 41$

$g^*_{C,rel} = 52$



5 stufige Reihen für konstanten CIELAB Buntton 92/360 = 0.255 (rechts)

BAM-Prüfvorlage UG34; Farbmimetrische-Systeme MRS18 & MRS18

D65: Koordinaten-Systeme von 5stufigen Farbreihen für 10 Bunttoninput: $cm y0^* setcmykcolor$

input: $olv^* setrgbcolor / w^* setgray$

Eingabe: Farbmétrisches Reflexions-System MRS18

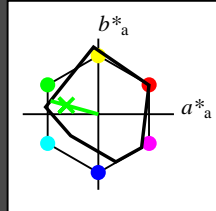
für Buntton $h^* = lab^*h = 164/360 = 0.457$

LAB*LCH, LAB*NCH

D65: Buntton G

LCH*Ma: 56 66 164

olv*Ma: 0.1 1.0 0.0



MRS18; adaptierte CIELAB-Daten					
	$L^*=L_a^*$	a_a^*	b_a^*	$C_{ab,a}^*$	$h_{ab,a}^*$
R _{Ma}	49.63	66.96	38.37	77.18	30
J _{Ma}	90.7	-6.36	88.75	88.98	94
G _{Ma}	52.11	-69.73	9.44	70.37	172
G50B _{Ma}	45.03	-36.57	-28.47	46.36	218
B _{Ma}	36.65	23.19	-63.05	67.18	290
B50R _{Ma}	34.94	57.17	-44.26	72.31	322
N _{Ma}	18.01	0.0	0.0	0.0	0
W _{Ma}	95.41	0.0	0.0	0.0	0
R _{CIE}	39.92	58.66	26.98	64.56	25
J _{CIE}	81.26	-2.17	67.76	67.79	92
G _{CIE}	52.23	-42.26	11.75	43.87	164
B _{CIE}	30.57	1.15	-46.84	46.87	271

CIELAB-Helligkeit L^*

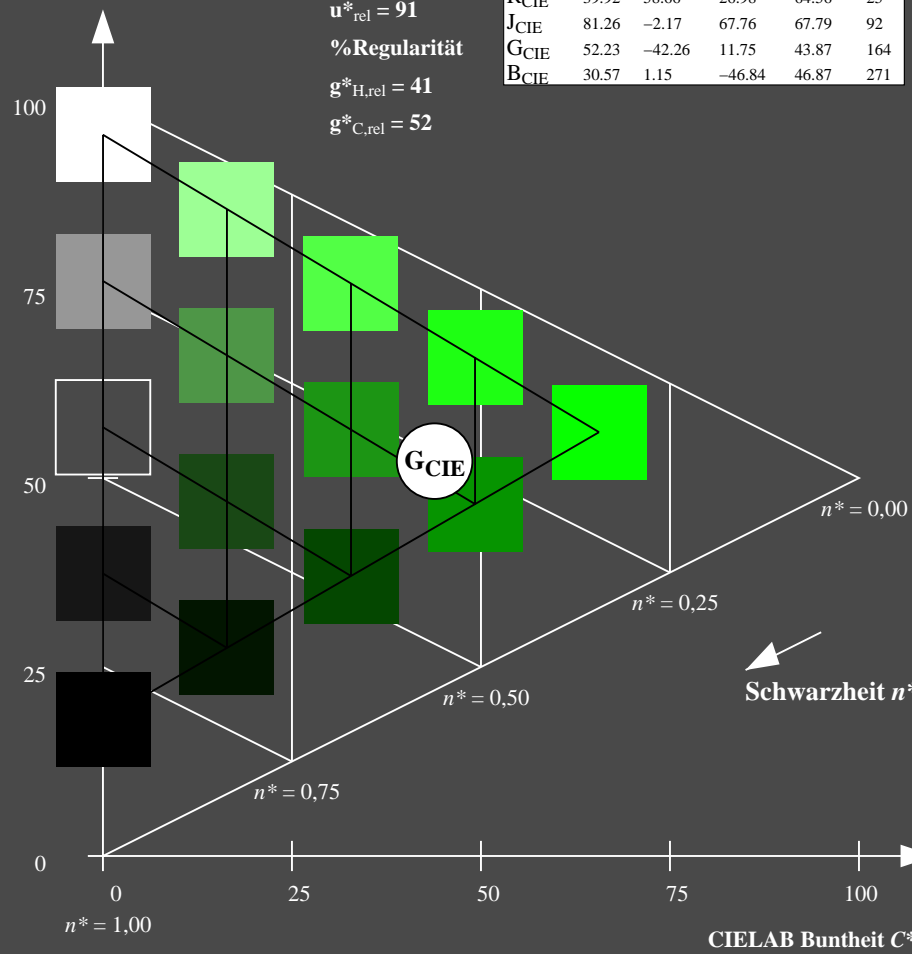
%Umfang

$u_{rel}^* = 91$

%Regularität

$g_{H,rel}^* = 41$

$g_{C,rel}^* = 52$



UG340-7, 5 stufige Reihen für konstanten CIELAB Buntton $164/360 = 0.457$ (links)

Ausgabe: Farbmétrisches Reflexions-System MRS18

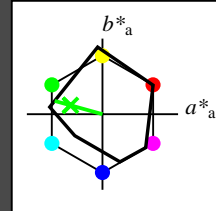
für Buntton $h^* = lab^*h = 164/360 = 0.457$

LAB*LCH, LAB*NCH

D65: Buntton G

LCH*Ma: 56 66 164

olv*Ma: 0.1 1.0 0.0



MRS18; adaptierte CIELAB-Daten					
	$L^*=L_a^*$	a_a^*	b_a^*	$C_{ab,a}^*$	$h_{ab,a}^*$
R _{Ma}	49.63	66.96	38.37	77.18	30
J _{Ma}	90.7	-6.36	88.75	88.98	94
G _{Ma}	52.11	-69.73	9.44	70.37	172
G50B _{Ma}	45.03	-36.57	-28.47	46.36	218
B _{Ma}	36.65	23.19	-63.05	67.18	290
B50R _{Ma}	34.94	57.17	-44.26	72.31	322
N _{Ma}	18.01	0.0	0.0	0.0	0
W _{Ma}	95.41	0.0	0.0	0.0	0
R _{CIE}	39.92	58.66	26.98	64.56	25
J _{CIE}	81.26	-2.17	67.76	67.79	92
G _{CIE}	52.23	-42.26	11.75	43.87	164
B _{CIE}	30.57	1.15	-46.84	46.87	271

CIELAB-Helligkeit L^*

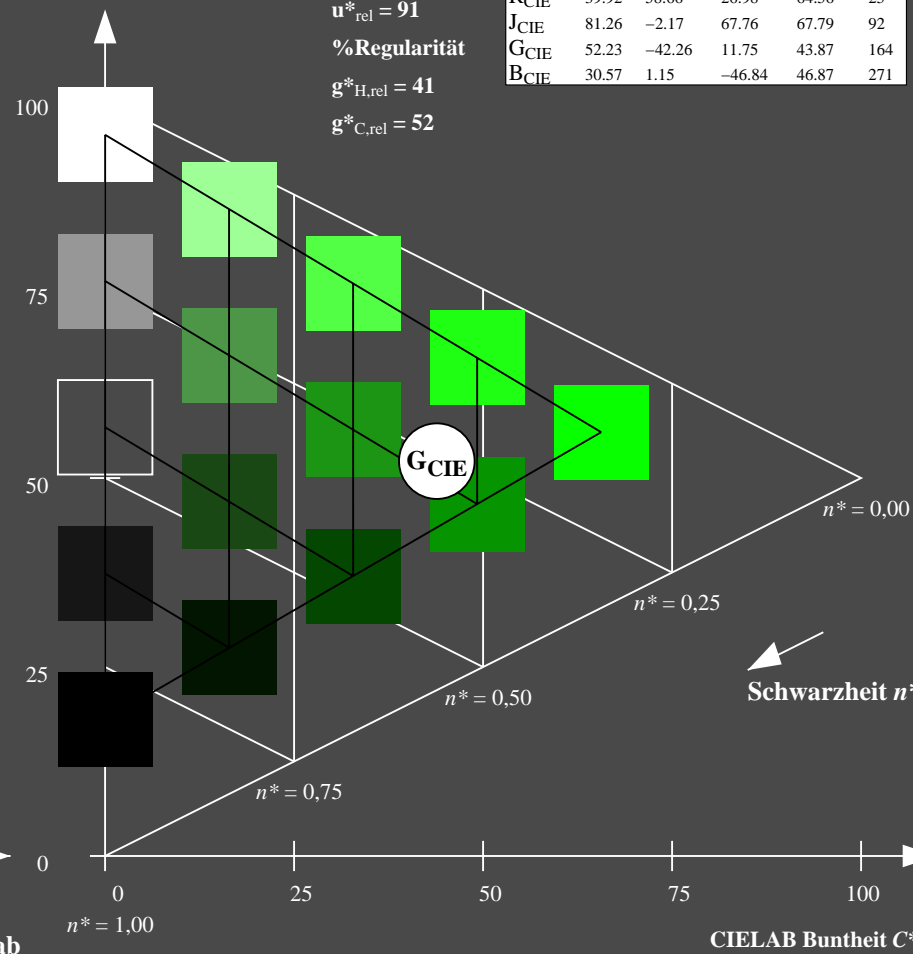
%Umfang

$u_{rel}^* = 91$

%Regularität

$g_{H,rel}^* = 41$

$g_{C,rel}^* = 52$



5 stufige Reihen für konstanten CIELAB Buntton $164/360 = 0.457$ (rechts)

BAM-Prüfvorlage UG34; Farbmétrik-Systeme MRS18 & MRS18

D65: Koordinaten-Systeme von 5stufigen Farbreihen für 10 Bunttoninput: $cmY0^* setcmykcolor$

input: $olv^* setrgbcolor / w^* setgray$

Eingabe: Farbmétrisches Reflexions-System MRS18

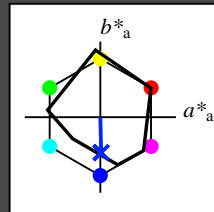
für Buntton $h^* = lab^*h = 271/360 = 0.754$

LAB*LCH, LAB*NCH

D65: Buntton B

LCH*Ma: 40 50 271

olv*Ma: 0.0 0.37 1.0



MRS18; adaptierte CIELAB-Daten					
	$L^*=L^*_a$	a^*_a	b^*_a	$C^*_{ab,a}$	$h^*_{ab,a}$
R _{Ma}	49.63	66.96	38.37	77.18	30
J _{Ma}	90.7	-6.36	88.75	88.98	94
G _{Ma}	52.11	-69.73	9.44	70.37	172
G50B _{Ma}	45.03	-36.57	-28.47	46.36	218
B _{Ma}	36.65	23.19	-63.05	67.18	290
B50R _{Ma}	34.94	57.17	-44.26	72.31	322
N _{Ma}	18.01	0.0	0.0	0.0	0
W _{Ma}	95.41	0.0	0.0	0.0	0
R _{CIE}	39.92	58.66	26.98	64.56	25
J _{CIE}	81.26	-2.17	67.76	67.79	92
G _{CIE}	52.23	-42.26	11.75	43.87	164
B _{CIE}	30.57	1.15	-46.84	46.87	271

CIELAB-Helligkeit L^*

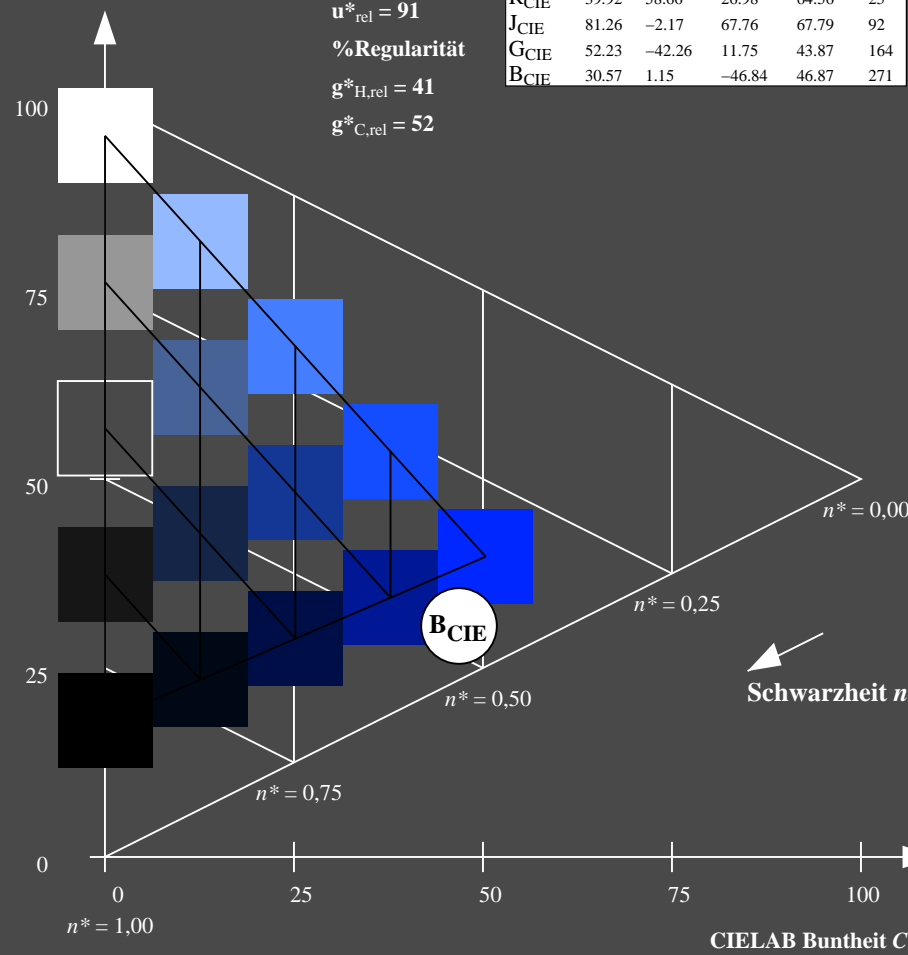
%Umfang

$u^*_{rel} = 91$

%Regularität

$g^*_{H,rel} = 41$

$g^*_{C,rel} = 52$



UG340-7, 5 stufige Reihen für konstanten CIELAB Buntton $271/360 = 0.754$ (links)

Ausgabe: Farbmétrisches Reflexions-System MRS18

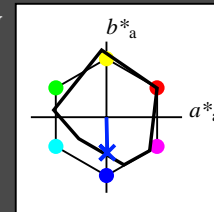
für Buntton $h^* = lab^*h = 271/360 = 0.754$

LAB*LCH, LAB*NCH

D65: Buntton B

LCH*Ma: 40 50 271

olv*Ma: 0.0 0.37 1.0



MRS18; adaptierte CIELAB-Daten					
	$L^*=L^*_a$	a^*_a	b^*_a	$C^*_{ab,a}$	$h^*_{ab,a}$
R _{Ma}	49.63	66.96	38.37	77.18	30
J _{Ma}	90.7	-6.36	88.75	88.98	94
G _{Ma}	52.11	-69.73	9.44	70.37	172
G50B _{Ma}	45.03	-36.57	-28.47	46.36	218
B _{Ma}	36.65	23.19	-63.05	67.18	290
B50R _{Ma}	34.94	57.17	-44.26	72.31	322
N _{Ma}	18.01	0.0	0.0	0.0	0
W _{Ma}	95.41	0.0	0.0	0.0	0
R _{CIE}	39.92	58.66	26.98	64.56	25
J _{CIE}	81.26	-2.17	67.76	67.79	92
G _{CIE}	52.23	-42.26	11.75	43.87	164
B _{CIE}	30.57	1.15	-46.84	46.87	271

CIELAB-Helligkeit L^*

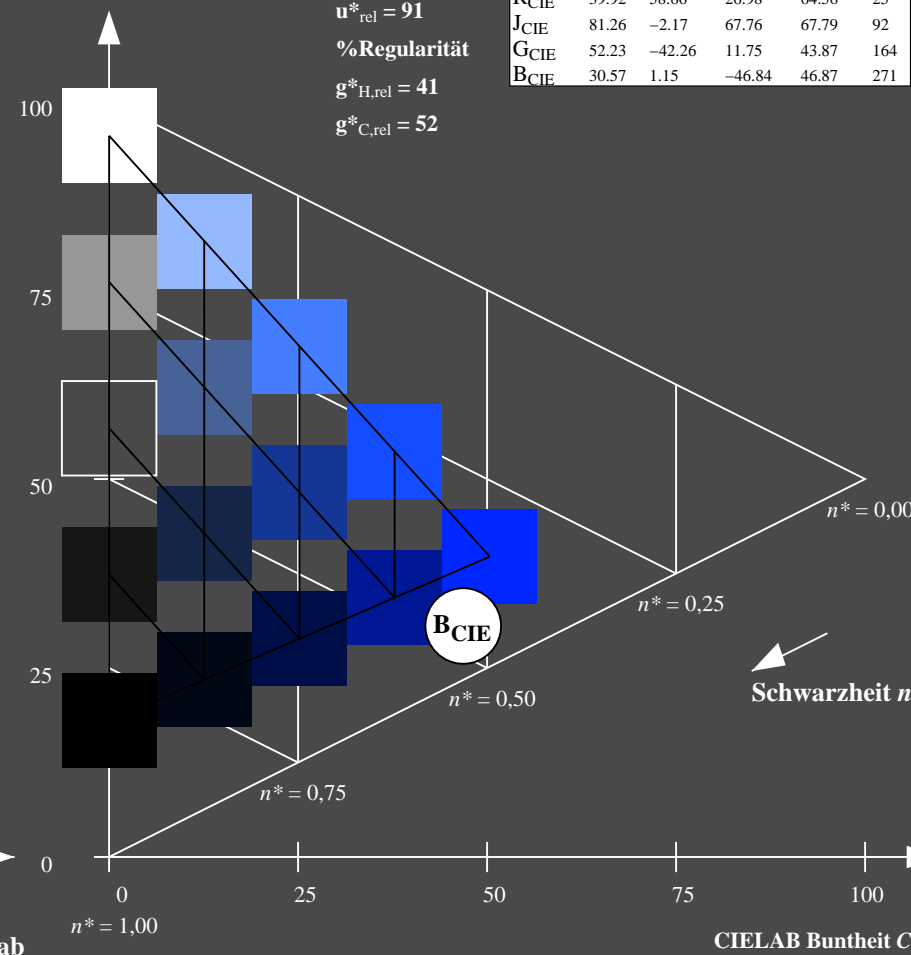
%Umfang

$u^*_{rel} = 91$

%Regularität

$g^*_{H,rel} = 41$

$g^*_{C,rel} = 52$



5 stufige Reihen für konstanten CIELAB Buntton $271/360 = 0.754$ (rechts)

BAM-Prüfvorlage UG34; Farbmétrik-Systeme MRS18 & MRS18

D65: Koordinaten-Systeme von 5stufigen Farbreihen für 10 Bunttonen

Input: $cmY^0 * setcmYcolor$

Output: $olv * setrgbcolor / w * setgray$